

برآوردگر پیشآزمون در مدل نمایی دو پارامتری تحت سانسور فزايندهٔ نوع II

اکبر اصغر زاده^۱، محمد شریفی

گروه آمار، دانشگاه مازندران

تاریخ پذیرش: ۹۵/۱/۲۹ تاریخ دریافت: ۹۴/۷/۷

چکیده: در این مقاله، برآوردگرهای پیشآزمون برای پارامترهای مکان و مقیاس مدل نمایی دو پارامتری براساس نمونه‌های سانسور شدهٔ فزايندهٔ نوع II ارائه می‌شوند. مقادیر اریبی و میانگین مرreعات خطای برآوردگرهای پیشنهادی محاسبه می‌شوند. نشان داده می‌شود که برآوردگرهای پیشنهادی در همسایگی فرض صفر بهتر از برآوردگرهای کلاسیک متناظر عمل می‌کنند. همچنین دامنهٔ مقادیری از پارامترها که به ازای آن‌ها، برآوردگرهای پیشنهادی بهتر از برآوردگرهای کلاسیک عمل می‌کنند بر حسب اندازه‌های نمونه‌ای و سطوح معناداری مختلف مشخص می‌شوند. در پایان، یک مثال عددی برای تشریح برآوردگرهای پیشنهادی موردنبحث قرار می‌گیرد.

واژه‌های کلیدی: مدل نمایی دو پارامتری، برآوردگر پیشآزمون، کارایی نسبی، سانسور فزايندهٔ نوع II.

رده‌بندی موضوعی (۲۰۱۰): ۶۲F۳۰، ۶۲F۱۰

-۱ مقدمه

در استنباط آماری و روش‌های کلاسیک رایج برای برآورد پارامتر مجھول جامعه، از اطلاعاتی که از نمونه‌ی تصادفی به دست می‌آید استفاده می‌شود. با این وجود در بسیاری از موارد، علاوه بر اطلاعاتی که نمونه‌ی تصادفی دربارهٔ پارامتر مجھول جامعه در اختیار ما قرار می‌دهد، اطلاعات مفید دیگری (اطلاعات غیر نمونه‌ای) نیز وجود دارد که می‌تواند در بهبود برآورد پارامتر مجھول به ما کمک کند. این اطلاعات غیر نمونه‌ای معمولاً از طریق دانش قبلی یا نتایج

۱- آدرس الکترونیکی نویسنده مسئول مقاله: a.asgharzadeh@umz.ac.ir

آزمایش‌های قبلی، قابل حصول است. به عنوان مثال یک مهندس کنترل کیفیت با توجه به تجربه‌ی شخصی یا نتایج آزمایش‌های قبلی می‌تواند یک حدس اولیه درباره میانگین طول عمر قطعه‌ی مورد آزمایش داشته باشد. براساس نظر فیشر (صالح [۱]، صفحه ۵۸)، این اطلاعات غیر نمونه‌ای را می‌توان در قالب یک آزمون فرض مقدماتی بیان کرد و از آن برای برآورده پارامتر مجهول استفاده کرد. برآورده‌گری که با توجه به این آزمون مقدماتی به دست می‌آید، برآورده‌گر پیش‌آزمون گفته می‌شود. به عبارتی اگر برآورده‌گر کلاسیک پارامتر مجهول θ را با $\hat{\theta}$ نمایش دهیم و یک حدس اولیه θ_0 درباره پارامتر مجهول θ وجود داشته باشد، در این صورت ابتدا آزمون آماری فرض $H_0: \theta = \theta_0$ در مقابل $H_1: \theta \neq \theta_0$ انجام می‌شود. سپس براساس رد یا پذیرش فرض H_0 برآورده‌گر پیش‌آزمون (PTE) برای θ به صورت زیر معرفی می‌شود که $\hat{\theta}^{PT} = \theta_0$ اگر H_0 پذیرش شود و $\hat{\theta}^{PT} = \theta_0$ رد شود.

برآورده‌گر پیش‌آزمون توسط بانکرات [۲] و هان و بانکرات [۳] معرفی شد. از سال ۱۹۴۴ تاکنون محققان زیادی این برآورده‌گر را مورد مطالعه قرار دادند که از میان آن‌ها می‌توان به جاج و بوک [۴] کبریا و صالح [۵]، صالح و کبریا [۶]، بندا [۷]، چیاو و هان [۸]، شانبوگ و جیهل [۱۰]، آرشی و همکاران [۱۱] و سینگ [۱۲] اشاره کرد. بدکلیزی [۱۳] برآورده‌گر پیش‌آزمون را در توزیع نمایی دو پارامتری براساس داده‌های سانسور شده نوع I بررسی کرد. کبریا و صالح [۱۴] برآورده‌گر پیش‌آزمون را برای پارامترهای توزیع‌های نمایی و پاراتو براساس نمونه‌های سانسور شده مضاعف بررسی کردند. همچنین بدکلیزی [۱۵] و ذاکر زاده و کریمی [۱۶] برآورده‌گر پیش‌آزمون را در توزیع نمایی دو پارامتری براساس داده‌های رکوردهای موردمطالعه قرار دادند. اخیراً میر فرج و احمدی [۱۷] برآورده‌های پیش‌آزمون و کلاسیک پارامترهای توزیع نمایی دو پارامتری را بر اساس معیار نزدیکی پیتمن با داده‌های رکوردهای موردن مقایسه قرار دادند.

در آزمایش‌های طول عمر و قابلیت اعتماد، موارد زیادی وجود دارد که واحدهای آزمایشی قبل از مشاهده زمان خرابی یا شکست آن‌ها از آزمون حذف یا کنار گذاشته می‌شوند. این حذف ممکن است به صورت غیرعمدی رخ دهد (توقف آزمایش طول عمر به دلیل شرایط پیش‌بینی نشده). معمولاً حذف واحدهای آزمایشی، از قبل طراحی شده و عمده است و به دلایلی همچون صرفه‌جویی در زمان و هزینه توسط آزمونگر صورت می‌گیرد. در این حالت گفته می‌شود که سانسور رخ داده است، یعنی تنها بخشی از داده‌های طول عمر مشاهده می‌شود. در این حالت نمونه‌ی مشاهده شده را نمونه سانسور شده نامند. سانسورهای معمولی نوع I و II رایج‌ترین نوع سانسورها هستند. از ایرادات وارد بر سانسورهای معمولی نوع I و II، این است که در این سانسورها اجازه حذف واحدهای آزمایش در زمان‌های غیر از زمان خاتمه آزمایش داده نمی‌شود. اما سانسور فراینده نوع II، دارای این ایراد نمی‌باشد. این سانسور به

صورت زیر توصیف می‌شود. n واحد آزمایشی را در زمان صفر، در معرض یک آزمایش طول عمر قرار می‌دهیم. با مشاهده اولین شکست، R_1 واحد از واحدهای سالم باقیمانده از روند آزمایش کنار گذاشته می‌شوند. با مشاهدهای دومین شکست، R_2 واحد از واحدهای سالم باقیمانده از آزمایش کنار گذاشته شوند و این کار ادامه پیدا می‌کند تا اینکه در زمان m امین شکست همهی واحدهای سالم باقیمانده یعنی

$$R_m = n - R_1 - R_2 - \dots - R_{m-1} - m$$

از آزمایش طول عمر خارج می‌شوند. در این نوع سانسور، مقادیر m و $\underline{R} = (R_1, \dots, R_m)$ از پیش تعیین می‌شوند. توجه کنید که اگر

$$R_1 = R_2 = \dots = R_{m-1} = \circ, \quad R_m = n - m,$$

آنگاه طرح سانسور معمولی نوع II به دست می‌آید. همچنین اگر داشته باشیم

$$R_1 = R_2 = \dots = R_m = \circ,$$

آنگاه یک طرح بدون سانسور (نمونه کامل) خواهیم داشت. برای مطالعه بیشتر درباره سانسور فراینده می‌توان به کتاب بالاکریشنان و آگاروالا [۱۸] مراجعه کرد.

در این مقاله برآوردهای پیشآزمون برای پارامترهای توزیع نمایی دو پارامتری بر اساس نمونه‌های سانسور شده فراینده نوع دوم به دست می‌آیند. اگرچه برآورد پیشآزمون پارامترهای توزیع نمایی دو پارامتری با نمونه‌های سانسور شده و رکوردي موردمطالعه قرار گرفته‌اند، با این وجود این برآوردها براساس نمونه‌های سانسور شده فراینده نوع دوم موردمطالعه قرار نگرفته‌اند. در بخش دوم این مقاله برآوردهای پیشآزمون برای پارامترهای مکان و مقیاس توزیع نمایی محاسبه و سپس بر اساس معیار میانگین محدود خطا (MSE)، این برآوردهای با برآوردهای کلاسیک متناظرشان مقایسه می‌شوند. همچنین دامنه‌ای از مقادیر پارامترها که به ازای آن‌ها، برآوردهای پیشنهادی بهتر از برآوردهای کلاسیک می‌باشند ارائه می‌شوند. در بخش سوم، یک مثال عددی برای تشریح روش پیشنهادی برآورد پارامترها ارائه می‌شود.

۲- برآوردهای پیشآزمون

فرض کنید $\underline{X} = (X_{1:m}, \dots, X_{m:m})$ یک نمونه سانسور فراینده نوع II با طرح سانسور $\underline{R} = (R_1, \dots, R_m)$ از توزیع نمایی دو پارامتر با تابع چگالی

$$f(x) = \frac{1}{\sigma} e^{-\frac{x-\theta}{\sigma}} \quad x > \theta, \quad \sigma > 0, \quad (1)$$

و تابع توزیع

$$F(x) = 1 - e^{-\frac{x-\theta}{\sigma}} \quad x > \theta, \quad \sigma > 0, \quad (3)$$

باشد که در آن θ و σ به ترتیب پارامترهای مکان و مقیاس می‌باشند. تابع درستنمایی براساس نمونه‌ی سانسور فراینده نوع II فوق، به صورت زیر می‌باشد [۱۸]

$$\begin{aligned} L(\sigma, \theta, x) &= C \prod_{i=1}^m f(x_{i:m:n}) [1 - F(x_{i:m:n})]^{R_i} \\ &= C \prod_{i=1}^m \frac{1}{\sigma} e^{-\frac{x_{i:m:n}-\theta}{\sigma}} \left[1 - \left(1 - e^{-\frac{x_{i:m:n}-\theta}{\sigma}} \right) \right]^{R_i} I(\theta)_{(-\infty, x_{i:m:n})} \\ &= C \sigma^{-m} e^{\sum_{i=1}^m \frac{-x_{i:m:n}-\theta}{\sigma}} e^{-\sum_{i=1}^m R_i \frac{x_{i:m:n}-\theta}{\sigma}} \\ &= C \sigma^{-m} e^{\frac{-\sum_{i=1}^m (R_i + 1) \frac{x_{i:m:n}-\theta}{\sigma}}{\sigma}} \quad \theta < x_{i:m:n} \\ &\quad \text{که در آن} \end{aligned}$$

$$C = n(n-1-R_1)(n-2-R_1-R_2)\dots(n-m+1-R_1-\dots-R_{m-1}),$$

و (.) I تابع نشانگر می‌باشد. از بالاکریشنان و آگاروالا [۱۸]، بهترین برآوردگر خطی نااریب پارامترهای θ و σ به ترتیب عبارتند از (BLUE)

$$\tilde{\theta} = X_{i:m:n} - \frac{\tilde{\sigma}}{n}, \quad \tilde{\sigma} = \frac{1}{m-1} \sum_{i=1}^m (R_i + 1) (X_{i:m:n} - X_{i:m:n}). \quad (3)$$

واریانس این برآوردگرها به ترتیب به صورت زیر می‌باشند

$$Var(\tilde{\theta}) = \frac{\sigma^2}{n(m-1)}, \quad (4)$$

$$Var(\tilde{\sigma}) = \frac{\sigma^2}{(m-1)} \quad (5)$$

علاوه بر این می‌توان نشان داد که

$$T = \frac{\chi^2(m-1)\tilde{\sigma}}{\sigma} \sim \chi^2_{\chi^2(m-1)}$$

در این بخش، برآوردهای پیشآزمون را برای پارامترهای θ و σ وقتی که یک حدس اولیه در مورد مقدار پارامتر σ مانند $\sigma = \sigma_0$ وجود داشته باشد در نظر می‌گیریم.

برای محاسبه برآوردهای پیشآزمون ابتدا آزمون فرض

$$\begin{cases} H_0 : \sigma = \sigma_0 \\ H_1 : \sigma \neq \sigma_0 \end{cases}$$

را در سطح α انجام می‌دهیم. ناحیه پذیرش فرض H_0 براساس آزمون درستنمایی (LRT) عبارت است از

$$A = \{T : c_1 < T < c_2\},$$

$$. T = \frac{\gamma(m-1)\tilde{\sigma}}{\sigma_0} \sim \chi_{(m-1)}^2 \text{ و } c_2 = \chi_{1-\alpha/2, (m-1)}^2, c_1 = \chi_{\alpha/2, (m-1)}^2 \text{ که در آن}$$

آماره آزمون می‌باشد؛ بنابراین برآوردهای پیشآزمون برای پارامترهای σ و θ به ترتیب به صورت زیر خواهند بود

$$\hat{\sigma}^{PT} = \sigma_0 I(A) + \tilde{\sigma} I(\bar{A}) \quad (8)$$

$$= \tilde{\sigma} - (\tilde{\sigma} - \sigma_0) I(A),$$

$$\begin{aligned} \hat{\theta}^{PT} &= \hat{\theta}_0 I(A) + \tilde{\theta} I(\bar{A}) = \left(X_{1:m:n} - \frac{\sigma_0}{n} \right) I(A) + \left(X_{1:m:n} - \frac{\tilde{\sigma}}{n} \right) I(\bar{A}) \\ &= \left(X_{1:m:n} - \frac{\sigma_0}{n} \right) I(A) + \left(X_{1:m:n} - \frac{\tilde{\sigma}}{n} \right) (1 - I(A)) \quad (9) \\ &= X_{1:m:n} - \frac{\hat{\sigma}^{PT}}{n}, \end{aligned}$$

که $\hat{\theta}_0$ برآوردهای θ تحت فرض صفر است.

۲-۲- اریبی و MSE برآوردهای پیشآزمون

مقدار اریبی برآوردهای پیشآزمون $\hat{\sigma}^{PT}$ به صورت زیر به دست می‌آید

$$\begin{aligned} Bias_\sigma(\hat{\sigma}^{PT}) &= E_\sigma(\hat{\sigma}^{PT} - \sigma) = E_\sigma\{\tilde{\sigma} - (\tilde{\sigma} - \sigma_0)I(A) - \sigma\} \\ &= E_\sigma(\tilde{\sigma}) - \sigma - E_\sigma(\tilde{\sigma}I(A)) + \sigma_0 E_\sigma(I(A)). \end{aligned} \quad (10)$$

توجه کنید که

$$\begin{aligned}
 E_\sigma(I(A)) &= P_\sigma(c_1 \leq T \leq c_r) \\
 &= P_\sigma\left(c_1 \leq \frac{\gamma(m-1)\tilde{\sigma}}{\sigma^*} \leq c_r\right) = P_\sigma\left(\frac{\sigma^*}{\sigma}c_1 \leq \frac{\gamma(m-1)\tilde{\sigma}}{\sigma} \leq \frac{\sigma^*}{\sigma}c_r\right) \quad (9) \\
 &= P_\sigma(\lambda c_1 \leq T \leq \lambda c_r), \quad \left(T = \frac{\gamma(m-1)\tilde{\sigma}}{\sigma} \sim \chi^2(m-1)\right) \\
 &= F_v(\lambda c_r) - F_v(\lambda c_1)
 \end{aligned}$$

که در آن $F_v(.)$ که $1-\alpha = F_v(c_r) - F_v(c_1)$ و $\lambda = \frac{\sigma^*}{\sigma}$ با $\chi^2(m-1)$ درجه آزادی میباشد به طوری که $v = \frac{1}{2}(m-1)$ همچنین c_1 و c_r مقادیر بحرانی توزیع کایدوی با v درجه آزادی میباشند. داریم

$$\begin{aligned}
 E_\sigma(\tilde{\sigma}I(A)) &= E_\sigma\left[\tilde{\sigma}I\left(c_1 \leq \frac{\gamma(m-1)\tilde{\sigma}}{\sigma^*} \leq c_r\right)\right] \\
 &= E_\sigma\left[\tilde{\sigma}I\left(\lambda c_1 \leq \frac{\gamma(m-1)\tilde{\sigma}}{\sigma} \leq \lambda c_r\right)\right] \\
 &= \frac{\sigma}{\gamma(m-1)} E\left[\frac{\gamma(m-1)\tilde{\sigma}}{\sigma} I\left(\lambda c_1 \leq \frac{\gamma(m-1)\tilde{\sigma}}{\sigma} \leq \lambda c_r\right)\right] \\
 &= \frac{\sigma}{\gamma(m-1)} E[T I(\lambda c_1 \leq T \leq \lambda c_r)] \quad (10) \\
 &= \frac{\sigma}{\gamma(m-1)} \int_{\lambda c_1}^{\lambda c_r} t \frac{1}{\gamma^{m-1} \Gamma(m-1)} t^{m-1} e^{-\frac{t}{\gamma}} dt \\
 &= \frac{\sigma}{\gamma(m-1)} \frac{\gamma^m \Gamma(m)}{\gamma^{m-1} \Gamma(m-1)} \int_{\lambda c_1}^{\lambda c_r} \frac{1}{\gamma^m \Gamma(m)} t^m e^{-\frac{t}{\gamma}} dt \\
 &= \sigma [F_{v+r}(\lambda c_r) - F_{v+r}(\lambda c_1)].
 \end{aligned}$$

بنابراین با جایگذاری (۹) و (۱۰) در (۸) مقدار اریبی برآوردگر پیشآزمون به صورت زیر محاسبه میشود

$$Bias_{\sigma}(\hat{\sigma}^{PT}) = \sigma_{\circ} \left[(F_v(\lambda c_r) - F_v(\lambda c_i)) - \frac{1}{\lambda} \{F_{v+r}(\lambda c_r) - F_{v+r}(\lambda c_i)\} \right].$$

اینک میانگین مجذور خطای برآورده‌گر $\hat{\sigma}^{PT}$ را محاسبه می‌کنیم. داریم

$$\begin{aligned} MSE_{\sigma}(\hat{\sigma}^{PT}) &= E_{\sigma}(\hat{\sigma}^{PT} - \sigma)^r \\ &= E_{\sigma}\{(\tilde{\sigma} - \sigma) - (\tilde{\sigma} - \sigma_{\circ})I(A)\}^r \\ &= E_{\sigma}(\tilde{\sigma} - \sigma)^r + E_{\sigma}\{(\tilde{\sigma} - \sigma_{\circ})I(A)\}^r - 2E_{\sigma}\{(\tilde{\sigma} - \sigma)(\tilde{\sigma} - \sigma_{\circ})I(A)\} \\ &= Var_{\sigma}(\tilde{\sigma}) + E_{\sigma}\{(\tilde{\sigma}^r + \sigma_{\circ}^r - 2\sigma_{\circ}\tilde{\sigma})I(A)\} \\ &\quad - 2E_{\sigma}\{(\tilde{\sigma}^r - \sigma_{\circ}\tilde{\sigma} - \sigma\tilde{\sigma} + \sigma\sigma_{\circ})I(A)\} \\ &= \frac{\sigma^r}{m-1} + E_{\sigma}(\tilde{\sigma}^r I(A)) - 2\sigma_{\circ}E_{\sigma}(\tilde{\sigma} I(A)) + \sigma_{\circ}^r E_{\sigma}(I(A)) \\ &\quad - 2E_{\sigma}(\tilde{\sigma}^r I(A)) + 2\sigma_{\circ}E_{\sigma}(\tilde{\sigma} I(A)) + 2\sigma E_{\sigma}(\tilde{\sigma} I(A)) - 2\sigma\sigma_{\circ}E_{\sigma}(I(A)) \\ &= \frac{\sigma^r}{m-1} + E_{\sigma}(\tilde{\sigma}^r I(A)) + 2\sigma^r \{F_{v+r}(\lambda c_r) - F_{v+r}(\lambda c_i)\} \\ &\quad + (\sigma_{\circ}^r - 2\sigma\sigma_{\circ})(F_v(\lambda c_r) - F_v(\lambda c_i)) \end{aligned}$$

از طرفی با اندکی محاسبات می‌توان نشان داد که

$$E_{\sigma}(\tilde{\sigma}^r I(A)) = \frac{m\sigma^r}{m-1} \{F_{v+r}(\lambda c_r) - F_{v+r}(\lambda c_i)\}.$$

بنابراین با جایگذاری، مقدار میانگین مجذور خطای برآورده‌گر پیش‌آزمون به صورت زیر به دست می‌آید.

$$\begin{aligned} MSE_{\sigma}(\hat{\sigma}^{PT}) &= \frac{\sigma^r}{m-1} - \frac{m\sigma^r}{m-1} \{F_{v+r}(\lambda c_r) - F_{v+r}(\lambda c_i)\} \\ &\quad + 2\sigma^r \{F_{v+r}(\lambda c_r) - F_{v+r}(\lambda c_i)\} + (\sigma_{\circ}^r - 2\sigma\sigma_{\circ})(F_v(\lambda c_r) - F_v(\lambda c_i)) \\ &= \sigma^r \left\{ \frac{1}{m-1} - \frac{m}{m-1} (F_{v+r}(\lambda c_r) - F_{v+r}(\lambda c_i)) \right. \\ &\quad \left. + 2 \{F_{v+r}(\lambda c_r) - F_{v+r}(\lambda c_i)\} + (\lambda^r - 2\lambda) \{F_v(\lambda c_r) - F_v(\lambda c_i)\} \right\}. \end{aligned} \tag{11}$$

اگر برای سادگی فرض کیم که

$$\begin{aligned} A_{\circ} &= \{F_v(\lambda c_r) - F_v(\lambda c_i)\}, \\ A_i &= \{F_{v+r}(\lambda c_r) - F_{v+r}(\lambda c_i)\}, \\ A_r &= \{F_{v+r}(\lambda c_r) - F_{v+r}(\lambda c_i)\}, \end{aligned}$$

آنگاه مقدار اربیبی و میانگین محدود خطای برآورده $\hat{\sigma}^{PT}$ را می‌توان به صورت زیر نوشت

$$Bias_{\sigma}(\hat{\sigma}^{PT}) = \sigma \left(A_{\circ} - \frac{1}{\lambda} A \right), \quad (12)$$

۹

$$MSE_{\sigma}(\hat{\sigma}^{PT}) = \sigma^r \left\{ \frac{1}{m-1} - \frac{m}{m-1} A_r + 2A_i + (\lambda^r - 2\lambda) A_{\circ} \right\}. \quad (13)$$

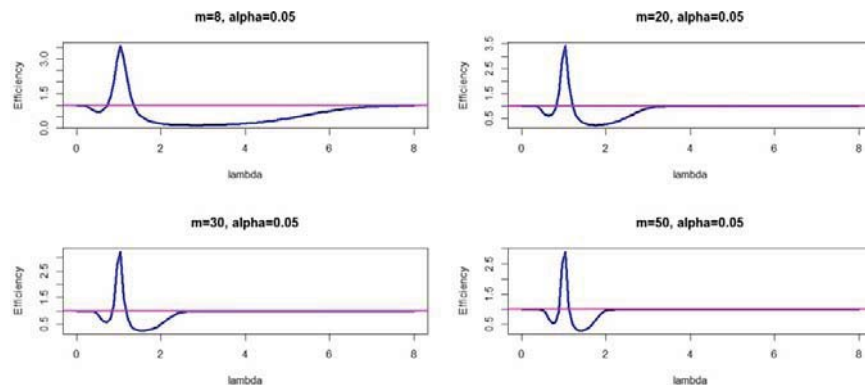
بنابراین کارایی نسبی $\hat{\sigma}^{PT}$ در مقایسه با $\tilde{\sigma}$ به صورت زیر به دست می‌آید:

$$RE(\hat{\sigma}^{PT}, \tilde{\sigma}) = \frac{MSE(\tilde{\sigma})}{MSE(\hat{\sigma}^{PT})} \quad (14)$$

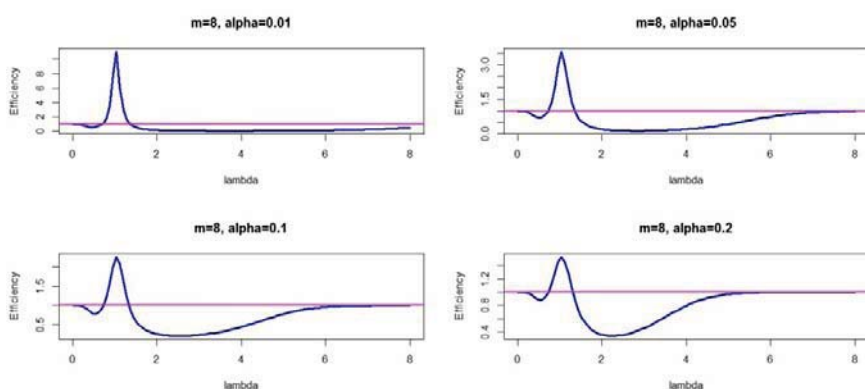
$$\begin{aligned} &= \frac{\sigma^r}{\sigma^r \left[\frac{1}{m-1} - \frac{m}{m-1} A_r + 2A_i + (\lambda^r - 2\lambda) A_{\circ} \right]} \\ &= \left[1 + (m-1) A_i (\lambda^r - 2\lambda) + 2(m-1) A_i - mA_r \right]^{-1}. \end{aligned} \quad (15)$$

توجه کنید که کارایی نسبی فوق تنها به اندازه‌ی نمونه‌ی سانسور (m ، اندازه‌ی آزمون (α) و $\lambda = \frac{\sigma_{\circ}}{\sigma}$ بستگی دارد. علاوه بر این کارایی نسبی فوق به طرح سانسور (R_1, \dots, R_m) بستگی ندارد.

نمودارهای ۱ و ۲، مقادیر کارایی نسبی را به ترتیب بر حسب مقادیر مختلف m و α نشان می‌دهند. در جدول ۱، به ازای مقادیر مختلف m و α ، حدودی از λ را که به ازای آنها برآورده $\hat{\sigma}^{PT}$ برآورده $\tilde{\sigma}$ برتری دارد ارائه کردایم.



شکل (۱): کارایی نسبی $\hat{\sigma}^{PT}$ نسبت به $\tilde{\sigma}$ برای مقادیر مختلف m .



شکل (۲): کارایی نسبی $\hat{\sigma}^{PT}$ نسبت به $\tilde{\sigma}$ برای مقادیر مختلف α .

جدول ۱: حدودی از λ که $\hat{\sigma}^{PT}$ برتری دارد

$\alpha=+/\pm 1$	$\alpha=+/\pm 5$	$\alpha=+/\pm 10$	m
[۰/۶۵۳۸۲۴, ۱/۴۵۰۲۲۴]	[۰/۶۴۷۵۵۷, ۱/۴۷۰۲۹۷]	[۰/۶۱۸۸۶۷, ۱/۴۹۱۲۶۹]	۵
[۰/۷۲۸۷۷۴, ۱/۳۳۲۲۶۸]	[۰/۷۲۱۵۶۶, ۱/۳۴۷۹۰۷]	[۰/۶۹۷۴۳۲, ۱/۳۶۷۲۹۵]	۸
[۰/۷۵۷۶۳۱, ۱/۲۹۰۳۱۵]	[۰/۷۵۰۴۹۷, ۱/۲۰۴۰۳۲]	[۰/۷۲۸۵۶۱, ۱/۳۲۲۲۳۲]	۱۰
[۰/۸۲۸۰۱۷, ۱/۹۵۰۴۴۴]	[۰/۸۲۱۹۵۷, ۱/۲۰۴۳۵۱]	[۰/۸۰۶۰۰۲, ۱/۲۱۸۴۸۲]	۲۰
[۰/۸۵۹۰۰۰, ۱/۱۵۶۱۷۷]	[۰/۸۵۳۷۰۲, ۱/۱۶۳۶۰۷]	[۰/۸۴۰۶۱۷, ۱/۱۷۵۵۱۱]	۳۰
[۰/۸۷۷۵۰۲, ۱/۱۳۳۸۰۳]	[۰/۸۷۲۸۰۰, ۱/۱۴۰۱۵۸]	[۰/۸۶۱۴۰۴, ۱/۱۵۰۶۱۷]	۴۰
[۰/۸۹۰۱۷۸, ۱/۱۱۸۸۴۴]	[۰/۸۸۵۸۵۸, ۱/۱۲۴۴۷۰]	[۰/۸۷۵۶۹۱, ۱/۱۳۳۹۱۶]	۵۰

۲-۳- اریبی و MSE برآوردگر پیش آزمون $\hat{\theta}^{PT}$

مقدار اریبی برآوردگر پیش آزمون $\hat{\theta}^{PT}$ به صورت زیر به دست می آید

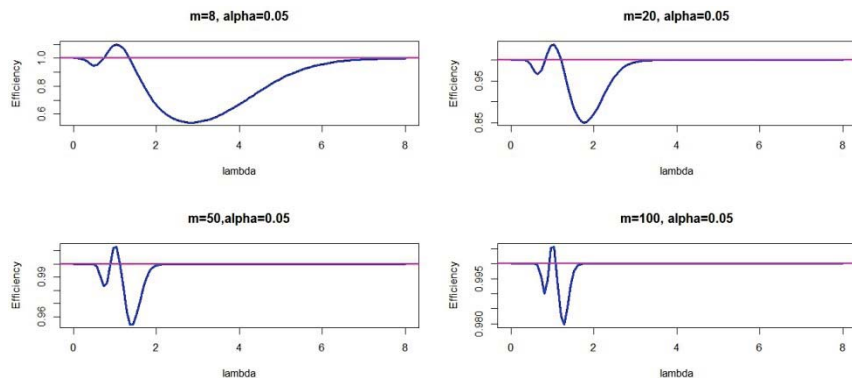
$$\begin{aligned} Bias_{\theta}\left(\hat{\theta}^{PT}\right) &= E_{\theta}\left\{\hat{\theta}^{PT} - \theta\right\} = E_{\theta}\left(X_{\cdot m:n}\right) - \frac{1}{n}E_{\theta}\left(\hat{\sigma}^{PT}\right) - \theta \\ &= \theta + \frac{\sigma}{n} - \frac{1}{n}\left\{\sigma + \sigma_{\circ}\left[A_{\circ} - \frac{1}{\lambda}A_{\cdot}\right]\right\} - \theta = -\frac{\sigma_{\circ}}{n}\left[A_{\circ} - \frac{1}{\lambda}A_{\cdot}\right]. \end{aligned}$$

همچنین میانگین مجدور خطای $\hat{\theta}^{PT}$ عبارت است از

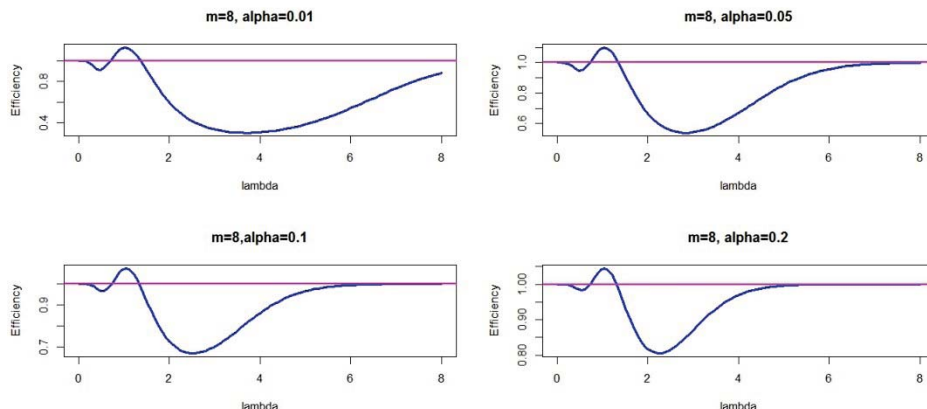
$$\begin{aligned} MSE_{\theta}\left(\hat{\theta}^{PT}\right) &= E_{\theta}\left\{\hat{\theta}^{PT} - \theta\right\}^2 = E_{\theta}\left\{\left(X_{\cdot m:n} - \theta\right) - \frac{1}{n}\hat{\sigma}^{PT}\right\}^2 \\ &= E_{\theta}\left(X_{\cdot m:n} - \theta\right)^2 - \frac{1}{n}E_{\theta}\left[\left(X_{\cdot m:n} - \theta\right)\hat{\sigma}^{PT}\right] + \frac{1}{n}E_{\theta}\left(\left(\hat{\sigma}^{PT}\right)^2\right) \\ &= E_{\theta}\left(X_{\cdot m:n} - \gamma\theta X_{\cdot m:n} + \theta^2\right) - \frac{1}{n}E_{\theta}\left[\left(X_{\cdot m:n} - \theta\right)(\tilde{\sigma} - (\tilde{\sigma} - \sigma_{\circ})I(A))\right] \\ &\quad + \frac{1}{n}E_{\theta}\left\{(\tilde{\sigma} - (\tilde{\sigma} - \sigma_{\circ})I(A))^2\right\} \\ &= E_{\theta}\left(X_{\cdot m:n}^2\right) - \gamma\theta E_{\theta}\left(X_{\cdot m:n}\right) + \theta^2 \\ &\quad - \frac{1}{n}\left\{E_{\theta}\left(X_{\cdot m:n} - \tilde{\sigma}\right) - E_{\theta}\left(X_{\cdot m:n} - \tilde{\sigma}\right)I(A) + E_{\theta}\left(X_{\cdot m:n} - \sigma_{\circ}I(A)\right)\right. \\ &\quad \left.- \frac{1}{n}E_{\theta}\left(\tilde{\sigma}\right) + \theta E_{\theta}\left(\tilde{\sigma}I(A)\right) - \theta\sigma_{\circ}E_{\theta}\left(I(A)\right)\right\} \\ &\quad + \frac{1}{n}E_{\theta}\left\{\tilde{\sigma}^2 - \tilde{\sigma}(\tilde{\sigma} - \sigma_{\circ})I(A) + (\tilde{\sigma} - \sigma_{\circ})^2 I(A)\right\} \\ &= \frac{m\sigma^2}{n(m-1)} + \frac{\sigma^2}{n(m-1)}\left[(m-1)(\lambda^2 - \gamma\lambda)A_{\circ} + \gamma(m-1)A_{\cdot} - mA_{\circ}\right]. \end{aligned} \quad (16)$$

لذا کارایی نسبی برآوردگر $\hat{\theta}^{PT}$ نسبت به برآوردگر $\tilde{\theta}$ به صورت زیر می باشد.

$$\begin{aligned}
 RE\left(\hat{\theta}^{PT}, \tilde{\theta}\right) &= \frac{MSE(\tilde{\theta})}{MSE(\hat{\theta}^{PT})} \\
 &= \frac{\frac{m\sigma^2}{n^r(m-1)}}{\frac{m\sigma^2}{n^r(m-1)} + \frac{\sigma^2}{n^r(m-1)} \left[(m-1)(\lambda^r - 2\lambda) A_r + r(m-1) A_r - mA_r \right]} \quad (17) \\
 &= \left[1 + \frac{m-1}{m} (\lambda^r - 2\lambda) A_r + \frac{r(m-1)}{m} A_r - A_r \right]^{-1}
 \end{aligned}$$



شکل (۳): کارایی نسبی $\hat{\theta}^{PT}$ نسبت به $\tilde{\theta}$ برای مقادیر مختلف m .



شکل (۴): کارایی نسبی $\hat{\theta}^{PT}$ نسبت به $\tilde{\theta}$ برای مقادیر مختلف α .

نمودار ۳، مقدار کارایی نسبی را به ازای مقادیر مختلف اندازه‌ی سانسور نشان می‌دهد. همچنین نمودار ۴، مقدار کارایی نسبی را به ازای مقادیر مختلف α نشان می‌دهد. جدول ۲ حدودی از λ را که به ازای آن $\hat{\theta}^{PT}$ برآورده گر کلاسیک $\tilde{\theta}$ برتری دارد ارائه می‌دهد. با توجه به نمودارهای ۳ و ۴ و جدول ۲، مشاهده می‌شود که برآورده گر پیش‌آزمون در نزدیکی فرض صفر برآورده گر کلاسیک برتری دارد.

جدول ۲: حدودی از λ که $\hat{\theta}^{PT}$ بر $\tilde{\theta}$ برتری دارد

$\alpha = +/1$	$\alpha = +/0.5$	$\alpha = +/0.1$	m
[۰/۶۵۳۸۳۸, ۱/۴۵۰۲۳۷]	[۰/۶۴۷۵۵۶, ۱/۴۷۰۲۲۴]	[۰/۶۱۸۸۴۷, ۱/۴۹۱۲۴۷]	۵
[۰/۷۲۸۷۷۴, ۱/۳۳۲۲۶۸]	[۰/۷۲۱۵۴۲, ۱/۳۴۷۹۰۰]	[۰/۶۹۷۴۱۷, ۱/۳۶۷۲۸۷]	۸
[۰/۷۵۷۶۴۱, ۱/۲۹۰۳۱۵]	[۰/۷۵۰۵۱۴, ۱/۳۰۴۰۳۶]	[۰/۷۲۸۵۵۶, ۱/۳۲۲۲۵۹]	۱۰
[۰/۸۲۸۰۱۸, ۱/۹۵۰۴۴۰]	[۰/۸۲۱۹۵۸, ۱/۲۰۴۳۴۳]	[۰/۸۰۵۹۹۹, ۱/۲۱۸۴۹۵]	۲۰
[۰/۸۵۸۹۸۷, ۱/۱۵۶۱۷۷]	[۰/۸۵۳۷۳۶, ۱/۱۶۳۵۹۸]	[۰/۸۴۰۶۳۶, ۱/۱۷۵۵۱۲]	۳۰
[۰/۸۷۷۴۸۵, ۱/۱۳۳۸۰۴]	[۰/۸۷۲۷۵۷, ۱/۱۴۰۱۳۲]	[۰/۸۶۱۳۹۶, ۱/۱۵۰۶۱۹]	۴۰
[۰/۸۹۰۱۷۴, ۱/۱۱۸۸۵۱]	[۰/۸۸۵۸۵۲, ۱/۱۲۴۴۴۸]	[۰/۸۷۵۶۶۵, ۱/۱۳۳۹۲۰]	۵۰

۳- مثال عددی

در این بخش، یک مثال عددی برای تشریح برآورده‌گرهای پیشنهادی ارائه می‌شود. مجموعه داده‌های زیر، مدت زمان بیهویتی ۲۰ بیمار سلطان خون را که با مصرف یک دارو درمان شده‌اند نشان می‌دهد.

$$\begin{aligned} & 1/013, 1/034, 1/109, 1/169, 1/266, 1/509, 1/533, \\ & 1/563, 1/716, 1/929, 1/965, 2/061, 2/344, 2/546, \\ & 2/626, 2/778, 2/951, 3/413, 4/118, 5/136. \end{aligned}$$

این داده‌ها از لاولس [۱۹] استخراج شده‌اند. با در نظر گرفتن $m=20$, $n=13$ و طرح سانسور $(R=1,1,0^{*1}, 0^{*1})$ یک نمونه سانسور فزاینده نوع II از این داده‌ها تولید کرده که نمونه سانسور تولیدشده و طرح سانسور متناظر آن در جدول ۳ گزارش شده است.

با توجه به نتایج بیان شده در بخش دوم، می‌توان برآورده‌گرهای پیشنهادی را برای چندین حدس اولیه σ یعنی $\sigma = 0, 1, 2, 3$ محاسبه کرد. در جدول ۴، این برآورده‌گرها برای چهار مقدار اولیه σ محاسبه شده‌اند.

جدول ۳: داده‌های سانسور فزاینده گزارش شده در وو [۲۰]

۷	۶	۵	۴	۳	۲	۱	i
۱/۵۶۳	۱/۵۳۳	۱/۵۰۹	۱/۲۶۶	۱/۱۰۹	۱/۰۳۴	۱/۰۱۳	X_i
.	۱	۱	R_i
۱۳	۱۲	۱۱	۱۰	۹	۸	۷	i
۱/۶۲۶	۲/۵۴۶	۲/۳۴۴	۲/۰۶۱	۱/۹۶۵	۱/۹۲۹	۱/۹۲۹	X_i
۵	R_i

جدول ۴: برآورد پارامترها برای داده‌های مثال

$\hat{\theta}^{PT}$	$\hat{\sigma}^{PT}$	$\tilde{\sigma}$	σ_{\circ}
۱/۰۸۵	۱/۴۵۱	۱/۴۵۱	۰/۸
۱/۰۶۳	۱	۱/۴۵۱	۱
۱/۱۱۳	۲	۱/۴۵۱	۲
۱/۰۸۵	۱/۴۵۱	۱/۴۵۱	۳

برای مثال در سطر اول از جدول ۴ برآوردهای σ را وقتی که مقدار $\sigma = 0/8$ است در نظر گرفته‌ایم؛ بنابراین باید فرض زیر را آزمون کنیم

$$H_0: \sigma = 0/8, \quad v.s. \quad H_1: \sigma \neq 0/8$$

مقدار آماره آزمون می‌شود

$$T_0 = \frac{2(m-1)\tilde{\sigma}}{\sigma_{\circ}} = \frac{2(13-1)(1/451)}{0/8} = 43/53$$

از آنجایی که $T_0 \notin \left(\chi_{(m-1), \alpha/2}, \chi_{(m-1), 1-\alpha/2} \right) = (12/40, 39/44)$ برآوردهای پیشآزمون، فرض صفر $\sigma = 0/8$ را رد می‌کند، ازین‌رو برآوردهای پیشآزمون برابر BLUE است. برای سطر دوم وقتی که $\sigma = 1$ است، از آنجایی که

$$T_1 = \frac{2(13-1)(1/451)}{1} = 34/824 \in (12/40, 39/44)$$

فرض صفر رد نمی‌شود و برآوردهای پیشآزمون برای $\sigma = 1$ می‌شود. بهطور مشابه برای سطر سوم، هنگامی که حدس اولیه بهصورت $\sigma = 2$ می‌باشد

$$T_0 = \frac{2(13-1)(1/451)}{2} = 17/412 \in (12/40, 39/44)$$

در این حالت فرض صفر $\sigma = 2$ رد نمی‌شود و از این‌رو برآورده‌گر پیش‌آزمون σ عبارت است از $\hat{\sigma}^{PT} = 2$. همچنین برای سطر چهارم، هنگامی که $\sigma_0 = 3$ داریم

$$T_0 = \frac{2(13-1)(1/451)}{3} = 11/60.8 \notin (12/40, 39/44)$$

در این حالت فرض صفر $\sigma = 3$ رد می‌شود و از این‌رو برآورده‌گر پیش‌آزمون برای σ ، برابر $\tilde{\sigma}$ خواهد بود. توجه کنید که در هر کدام از سطرهای با توجه به رابطه (۷) می‌توان برآورده‌گر پیش‌آزمون θ را محاسبه کرد.

۴- نتیجه‌گیری

در این مقاله، برآورده‌گرهای پیش‌آزمون پارامترهای مکان و مقیاس توزیع نمایی دو پارامتری براساس نمونه‌های سانسور فزاینده نوع دوم محاسبه و سپس این برآورده‌گرهای با برآورده‌گرهای کلاسیک متناظرشان مقایسه شده‌اند. بر اساس مقایسه انجام‌شده، مشخص شده است که برآورده‌گرهای پیش‌آزمون در همسایگی فرض صفر بهتر از برآورده‌گرهای کلاسیک می‌باشند.

سپاس‌گزاری

نویسنده‌گان مقاله از داوران محترم برای ارائه پیشنهادهای سازنده‌شان در بهبود این مقاله سپاس‌گزاری می‌نمایند.

مراجع

- [1] Saleh, A.K.Md.E. (2006). *Theory of Preliminary Test and Stein-Type Estimations with Applications*. Wiley, New York.
- [2] Bancroft, T.A. (1944). On biases in estimation due to use of preliminary tests of significance. *Annals of Mathematical Statistics*, **15**, 190-204.
- [3] Han, C.P. and Bancroft, T.A. (1968). On pooling means when variance is unknown. *Journal of the American Statistical Association*, **63**, 1333-1342.
- [4] Judge, G.G. and Bock, M.E. (1978). *The Statistical Implications of Pre-Test and Stein-Rule Estimators in Econometrics*. North-Holland, Amsterdam.

- [5] Kibria, B.M.G. and Saleh, A.K.Md.E. (1993). Performance of shrinkage Preliminary test estimator in regression analysis. *Jahangirnagar Rev A*, **17**, 133-148.
- [6] Saleh, A.K.Md.E. and Kibria, B.M.G. (1993). Performances of some new preliminary test ridge regression estimators and their properties. *Communications in Statistics-Theory and Methods*, **22**, 2747-2764.
- [7] Benda, N. (1996). Pre-test estimation and design in the linear model. *Journal of Statistical Planning and Inference*, **52**, 225-240.
- [8] Chiou, P. and Han, C.P. (1999). Conditional interval estimation of the ratio of variance components following rejection of a pre-test. *Journal of Statistical Computation and Simulation*, **63**, 105-119.
- [9] Han, C.P. (2002). Influential observations in a preliminary test estimation of the mean. *Pakistan Journal of Statistics*, **18**, 321-333.
- [10] Shanubhogue, A. and Jiheel, A.K. (2013). Bayes pre-test estimation of scale parameter of Weibull distribution under different loss functions using progressive type-II censored sample. *Journal of Reliability and Statistical Studies*, **6**, 101-113.
- [11] Arashi, M., Kibria, B.M.G., Norouzirad, M. and Nadarajah, S. (2014). Improved preliminary test and Stein-rule Liu estimators for the ill-conditioned elliptical linear regression model. *Journal of Multivariate Analysis*, **126**, 53-74.
- [12] Singh, B.K. (2015). Preliminary test estimation and shrinkage preliminary test estimation in normal and negative exponential distribution Using LINEX loss function. *International Journal of Soft Computing, Mathematics and Control*, **4**, 49-66.
- [13] Baklizi, A. (2005). Preliminary test estimation in the two parameter exponential distribution with time censored data. *Applied Mathematics and Computation*, **163**, 639-643.
- [14] Kibria, B.M.G. and Saleh, A.K.Md.E. (2010). Preliminary test estimation of the parameters of exponential and Pareto distributions for censored samples. *Statistical Papers*, **51**, 757-773.
- [15] Baklizi, A. (2008). Preliminay test estimation in the two parameter exponential distribution based on record values. *Journal of Applied Statistical Science*, **18**, 387-393.

- [16] Zakerzadeh, H.and Karimi, M. (2014). Minimax regret estimation of exponential distribution based on record values under weighted square error loss function. *Journal of Mathematical Extension*, **8**, 1-8.
- [17] Mirfarah, E.and Ahmadi, J. (2014). Pitman closeness of preliminary test and some classical estimators based on records from two-parameter exponential distribution. *Journal of Statistical Research of Iran*, **11**, 73-96.
- [18] Balakrishnan, N.and Aggarwala, R. (2000). *Progressive Censoring: Theory, Methods and Applications*. Berkhauser, Boston.
- [19] Lawless, J.F. (1982). *Statistical Models and Methods for Lifetime Data*. Wiley, New York.
- [20] Wu, S.F. (2010). Interval estimation for the two parameter exponential distribution under progressive censoring. *Quality and Quantity*, **34**, 181-189.

Preliminary Test Estimation in Two-parameter Exponential Model Under Progressively Type-II Censoring

Akbar Asgharzadeh and Mohammad Sharifi

Department of Statistics, University of Mazandaran, Babolsar, Iran

Abstract

In this paper, the preliminary test estimators for the location and scale parameters of the two-parameter exponential model are presented based on progressively Type II censored samples. The biases and mean squared errors of the proposed estimators are given. It is shown that the proposed estimators dominate the corresponding classical estimators in the neighborhood of null hypothesis. We also provide the range of the parameters for which the proposed estimators dominate the corresponding classical estimators for different sample sizes and level significance. Finally, a numerical example is given to illustrate the results.

Keywords: Two parameter-exponential model, Preliminary test estimator, Relative efficiency, Progressive Type-II censoring.

Mathematics Subject Classification (2010): 62F10, 62F30.